

## تأثير المحولات المؤرضة على دقة قياس مرحلة حماية المسافة لخطوط النقل المزدوجة

السيد أحمد عطيه البدري  
مدرس - قسم التقنيات الكهربائية  
المعهد التقني- الموصل

د.عبد الغني عبد الرزاق عبد الغفور  
أستاذ مساعد - كلية الهندسة - قسم الكهرباء  
جامعة الموصل

### الخلاصة

يتضمن هذا البحث دراسة تأثير المحولة المؤرضة في خطوط النقل المزدوجة ذات التفرع الوسطي تجهز أحمال على دقة قياس وأداء مرحلة حماية المسافة التقليدية العاملة ضمن هذا الترتيب من الخطوط عند حدوث الأعطال الأرضية بعد نقطة التفرع. إن حماية خطوط النقل ذات النهايات الثلاثة بوجود محولة مؤرضة أكثر صعوبة من حماية خطوط النقل ذات النهايتين بسبب المشاكل التي يمكن أن يسببها تيار التتابع الصفرى للمحولة والذي يعمل كمصدر تغذية للخط إضافي فضلاً عن تأثير الاقتران التبادلى الناتج من هذا التيار لكون خط النقل مزدوج الدائرة. تمت هذه الدراسة بتمثيل ونمذجة الدائرة التي تمثل حالة عطل خط مع الأرض لإحدى خطوط النقل المزدوجة باستخدام برنامج (Matlab\Simulink) وإيجاد قيم التيار والفولتنة لمراحل حماية المسافة عند موقع عطل وظروف تشغيلية مختلفة مع ويدون تأثير مقاومة العطل لجزء من منظومة خطوط النقل لشبكة كهرباء العراق للمنطقة الشمالية. وقد أظهرت نتائج البحث هناك تأثير لتيار التتابع الصفرى للمحولة المؤرضة فضلاً عن تأثير الحث التبادلى، هذا التأثير يكون على قيمة وزاوية الممانعة المنظورة من قبل مرحلة المسافة التي سوف تمثل أما إلى قصر في المدى الحمايى أو بعد في المدى وذلك حسب اتجاه تيار التتابع الصفرى بعد نقطة التفرع، وشدة تغير المدى الحمايى تعتمد على مستوى القصر لقضبان العمومي وسعة المحولة المؤرضة.

## Influence Of an Earthed Transformers On The Distance Protection Relay Measuring Accuracy For Double Transmission Lines

Dr. Abdul Ghani A. Abdul  
Ghafoor  
Electrical Department  
College of Engineering  
University of Mosul

Mr. Ahmed Ateya Al-  
Badrani  
Electrical Department  
Institute of Mosul  
Foundation of Technical Education

### Abstract:

This paper investigates a study of the influence of an earthed transformer in a double circuit transmission lines have intermediate tapped to provide to loads on a measuring accuracy and performance of the conventional Distance Protection Relay (DPR) installed in this configuration when the ground faults occur beyond tee point. The protection of three-terminal lines is not as simple as that of two-terminal lines. They usually experience problems caused by the zero sequence current in-feed of an earthed transformer from the third terminal as well as mutual coupling due to this current. This study has been modeling and simulating by using (Matlab\Simulink) program to analyze a steady state of ground fault on single circuit to calculate the DPR voltage, current and apparent impedance with various fault locations under operational status for the Iraqi North Regional Grids (INRG) 132 kV system. The paper results shows that current in-feed and mutual coupling by zero sequence of earthed transformer may cause the distance relay to seriously under-reach or Under Reach according to zero sequence current direction. The values of short circuit levels ratio of system have major effect in this problem, So an apparent impedance as seen by DPR and length of protective zone will change.

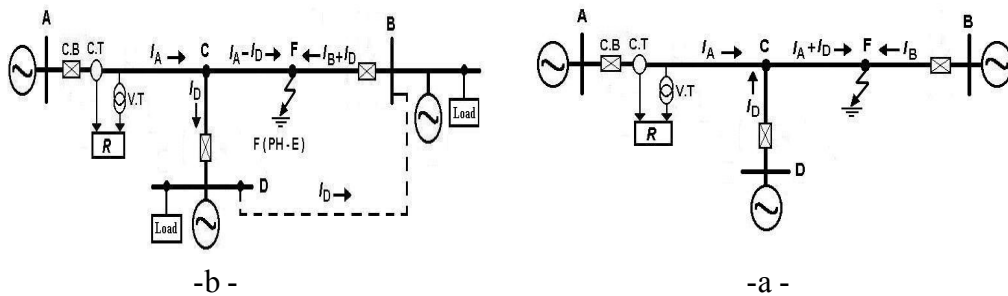
**Keywords:** Distance Protection Relay, Earthed Transformer, Mutual Coupling Effect, Fault location.

## مقدمة:

نظرأً للأهمية البالغة التي تتمتع بها مرحلات حماية المسافة في حماية خطوط النقل الكهربائية، فإن التقنيات المتعلقة بظروف تشغيلها الصحيح قد تطورت تطوراً كبيراً منذ بداية استخدامها في حماية أنظمة القراءة، أن تقنية حماية منظومات القراءة الكهربائية الحديثة ليس في مقدورها منع حدوث الأعطال أو تقليل معدل حدوثها ولكن تظهر هذه التقنية قدرتها في إمكانية تقصير الفترة الزمنية لتوارد انخفاض الجهد في شبكة النقل من خلال تحسين الأداء واستخدام حماية تتصرف بدقة عالية وسرعة تشغيل كبيرة جداً. إن المعضلة الأساسية في الحماية المعتمدة على المسافة تكمن في عدم التمكن من إحراز الدقة والضبط بشكل تام في إعطاء التغطية اللازمة لحماية الخط بأكمله، ويرجع السبب الأساسي في ذلك إلى عوامل عديدة [1]. إن المعضلات ذات التأثير المباشر على السلوكية الصحيحة لمرحلات المسافة كثيرة، وخاصة في خطوط النقل المزدوجة المتداخلة (Interconnected Double Transmission Lines) [2]، ويمكن ذكر أهم العوامل المؤثرة بالأتي:

### 1. تأثير خط التفرع الوسطي في خطوط النقل الكهربائية:

يفهم من خطوط النقل الهوائية ذات التفريعات (Tapped Line) أنها تلك الخطوط التي تزود بالقدرة الكهربائية من جهتين أو أكثر و تؤخذ منها تفريعات إلى محطة توليد وسطية (Intermediate Current Source)، أو محطة تحويل ثانوية كما هو الحال مع المحولات المؤرضة (Earthed Transformer) عند نقاط مختلفة على مسارها بغية تغذية منازل أو مصانع أو مشابه ذلك [3]. وإذا كان خط النقل مزوداً بمصدري قدرة كهربائية في نهايته، كما هو الحال في شبكات النقل الكهربائية ذات فولتنية نقل (132 - 400 kV) مما فوق، فإنه ينشأ ما يسمى بالقياس الخطأ (Measuring Error) للممانعة الظاهرة في حالة قياس مرحلة حماية المسافة عند حدوث قصر بعد خط التفرع، وهذا الخطأ ناجم عن وجود مصدر تغذية بين نقطة القصر وموضع المرحلة. إن خطأ القياس يمكن أن يكون موجباً أو سالباً ويعتمد في ذلك على شكل وتركيب الشبكة، ففي حالة كون تيار مصدر التغذية الوسطي ( $I_D$ ) داخلاً إلى العقدة (C) أي حالة (Current in-feed) بين نقطة القصر (F) وموضع المرحلة عند العمومي (A) كما موضح بالشكل (1-a)، فإن خط القياس يكون موجباً ويمكن تيار العطل عند العقدة (C) حاصل جمع تياري العموميين ( $A$  و  $D$ ) أي ( $I_A + I_D$ ) وتكون الممانعة الظاهرة المقاسة بواسطة المرحلة أكبر من الممانعة الفعلية للخط المحمي وتعاني المرحلة من حالة قصر المدى [6](Under Reach).



الشكل (1): رسم توضيحي لخط نقل ذو ثلاثة نهايات بوجود عطل أرضي

أما في حالة كون تيار مصدر التغذية خارجاً من العقدة (C) أي حالة (Current out-feed) عند حدوث العطل فإن خط القياس يكون سالباً ويمكن تيار العطل (C) حاصل الفرق بين التيارين ( $I_A - I_D$ ) وتكون الممانعة الظاهرة المقاسة أقل من الممانعة الفعلية للخط المحمي وتعاني مرحلة المسافة من حالة بعد المدى (Over Reach) كما موضح بالشكل (1-b)، أن دخول التيار أو خروجه من العقدة (C) يعتمد على طبيعة سريان القدرة (Power Flow) في المنظومة.

### 2. تأثير الحث التبادلي في خطوط النقل الهوائية المزدوجة الدائرة:

إن خطوط النقل الهوائية ذات الدائرة المزدوجة (Double Circuit) على نفس البرج يحدث فيها افتراق حتى تبادلي (Mutual Inductive Coupling) بين مسارات التياريات في هذه الخطوط. إن تأثير الحث التبادلي في حالة الأعطال الأرضية لنظام التتابع الموجب والسلب يكون قليلاً جداً لأن قيمة ممانعة الحث التبادلي لمركبة التتابع الموجب و السالب تكون بحدود (5%) من قيمة ممانعة الحث الذاتي لنفس المركبة، وعليه يمكن إهمال تأثيرهما، أما تأثير الحث التبادلي في حالة الأعطال الأرضية لنظام التتابع الصفرى فإن ممانعة الحث التبادلي ( $Z_{0M}$ ) لمركبة التتابع الصفرى تكون قيمتها بحدود (70% - 50%) من قيمة ممانعة الحث الذاتي لنفس المركبة، وعليه سوف تؤثر على قيمة تيار العطل وبالتالي تتحسس بالاتجاه الخاطئ للتيار. إن حساب ممانعة الحث

التبادل بين نظامي التتابع الصفرى بدون تأثير سلك التأريض المعتمد في هذا البحث يكون وفق الأسلوب المتبعة لشركة الألمانية والتي يمكن أن يعطى من خلال المعادلة الآتية [6],[5]:

$$Z_{0M} = 3.R_E + (j.\omega \cdot 6 \cdot \ln \frac{D_e}{A_L}) \cdot 10^{-4} \quad [\Omega / \text{km}] \quad \dots (1)$$

حيث تمثل ( $A_L$ ) معدل البعد الهندسى (Geometrical Mean Distance) و ( $\omega = f\pi 2$ ) تمثل التردد الزاوي (Angular Frequency)، و تمثل ( $R_E$ ) مقاومة الأرض (Ground Resistance) وهي معادلة تجريبية تعتمد على تردد النظام وتكون وفق العلاقة الآتية [6]:

$$R_E = (\pi / 2) \cdot \omega \cdot 10^{-4} \quad [\Omega / \text{km}] \quad \dots (2)$$

أما ( $D_e$ ) فتمثل مدى النفوذ (Penetration Depth) والذي يمثل دوره عمق الاختراق المكافئ لمسار التيار العائد للأرض ويمكن التعبير عنه بالمعادلة الآتية [6]:

$$D_e = 1650 \sqrt{\frac{\rho}{\pi}} \quad \dots (3)$$

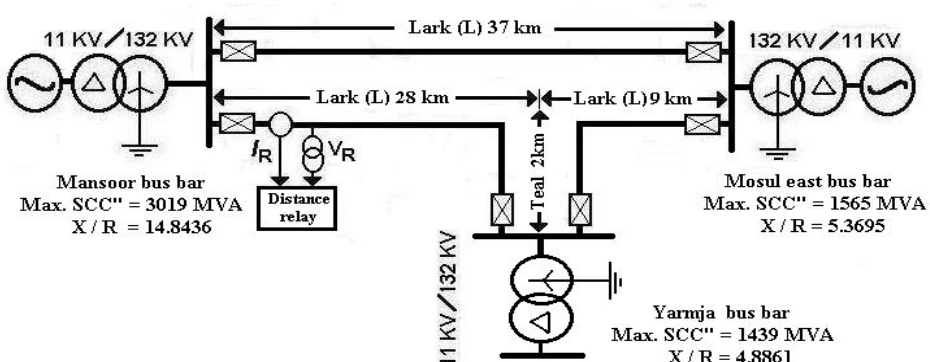
حيث إن ( $\rho$ ) تمثل مقاومة النوعية للأرض (Specific Resistance of Earth)

### 3. تأثير مقاومة العطل:

إن وجود مقاومة العطل (Fault Resistance) أثناء حالة القصر والتي تنشأ بفعل الاختلافات الزمنية لمرور تيار المرحلة وتيار القصر الفعلى في خط النقل بالقيمة صفر تؤدي إلى إبعاد الممانعة الكلية للعطل عن حافة المسار الهندسى لخاصية المرحلة، ويؤدي ذلك بدوره إلى عدم تمكن المرحلة من التحسس بوجود العطل وهو ما يطلق عليه مصطلح قصر المدى للمرحلة، وكذلك لا يمكن تلافي هذه المشكلة بجعل التنظيم للمرحلة (Replica Impedance) أكبر من ممانعة الخط بعد المدى للمرحلة، إذ أن قيمة الممانعة المنظورة تعتمد على اتجاه تيار التتابع الصفرى وهذا يعتمد على موقع العطل ونقطة التأريض ونسبة مستوى القصر في الدائرة [4],[7].

### ظروف تشغيل مرحلة قياس المسافة بوجود محولة مؤرضة في خط التفرع:

لأجل دراسة تأثير المحولة المؤرضة على دقة قياس مرحلة حماية المسافة العاملة في خطوط النقل الهوائية Iraqi North (Over Head Transmission Lines OHTL) ذات جهد (132 kV)، تم اختيار جزء من هذه المنظومة وكما هو موضح في الشكل (2).



الشكل (2): جزء من خطوط النقل الهوائية المزدوجة (132 kV) بوجود محولة مؤرضة في خط تفرع لشبكة كهرباء العراق للمنطقة الشمالية

أي يكون ترتيب الشبكة من نوع (Looped Network Interconnection) لغرض إجراء هذا البحث. ونظراً لكون خط النقل المزدوج الدائرة الذي تم اختياره ذو تغذية بمصدري قدرة بوجود خط تفرع مع محولة مؤرضة، فإنه ينشأ ما يسمى بالقياس الخاطئ بعد نقطة القصر عن موقع مرحلة قياس المسافة والذي ينجم عن جمع تيار التتابع الصفرى في نقطة القصر والتي حدثت بعد نقطة التفرع، مما يؤدي وبالتالي إلى حدوث قصور في الأداء (Mal-Operation) بالنسبة لمرحلة قياس المسافة. إن لمستوى القصر عند قضبان العمومي للمحطات تأثيراً كبيراً على تيارات الحث التبادلى لخطوط النقل المزدوجة الدائرة، وقد تم اعتماد أعظم قيمة لمستوى القصر (Maximum Short Circuit Level) لإيجاد قيم الممانعات المكافئة للمصادر عند قضبان العمومي المعنية وكما مبينة في الجدول (1).

الجدول (1) : قيم ممانعات التعابق الموجبة (أو السالبة ) والصفرية للمصادر المكافئة  
\* $(X / R)$  مع النسبة

$X \setminus R$	$Z_{0S} [\Omega]$	$Z_{1S} [\Omega]$	قضبان العمومي
14.843	2.073+j2.979	0.383+j5.749	المنصور الغازية
5.369	4.931+j16.08	2.038+j10.94	موصل الشرقية
-	5.035+j17.47	-	يارمجة

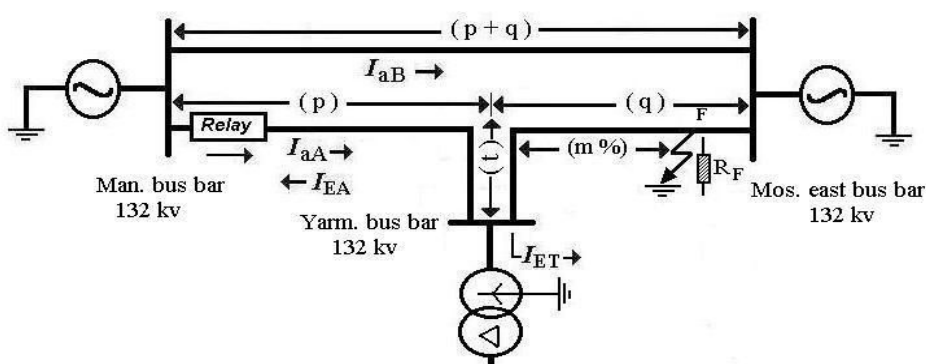
(\*) ملاحظة: البيانات في الجدول أعلاه مأخوذة من الشركة العامة لانتاج الطاقة الكهربائية للمنطقة الشمالية وكانت بتاريخ 4/12/2001.

ففي حالة حدوث قصر الطور (a) مع الأرض في مسار الدائرة الأولى (A) لخط النقل المزدوج والمزود بالقدرة من جهتين وبحالة عدم التحميل وكما هو موضح في الشكل (3)، تكون نقطة حيد المجموعة مؤرضة من جهة الفولتية العالية للخط، ويكون موقع العطل في النقطة (F) وعلى بعد (m) (m) والتي تمثل نسبة بعد موقع العطل عن خط التفرع المرتبط بالمحولة المؤرضة إلى طول الخط (q) بالكيلو متر أما (p) فيمثل بعد خط التفرع بالكيلو متر عن موقع مرحلة المسافة، ويمثل (t) طول خط التفرع بالكيلومتر، وكما يتضح في الشكل (3). إن تأثير تيار المحولة المؤرضة في نظام التتابع الموجب أو السالب للشبكة لا يظهر لأن المحولة تكون مربوطة إلى أحمال، وليس كما هو الحال عندما تكون مربوطة إلى محطة توليد، ولذلك فإن فولتية المرحلة لخط الأول ( $V_{1A}$ ) لنظام التتابع الموجب والذي يظهر عبر مرحلة حماية المسافة يمكن التعبير عنه بالعلاقة الآتية [6][9]:

$$V_{1A} = (p + 2t + m.q) \cdot Z_{1L} \cdot I_{1A} + V_{1F} \quad \dots(4)$$

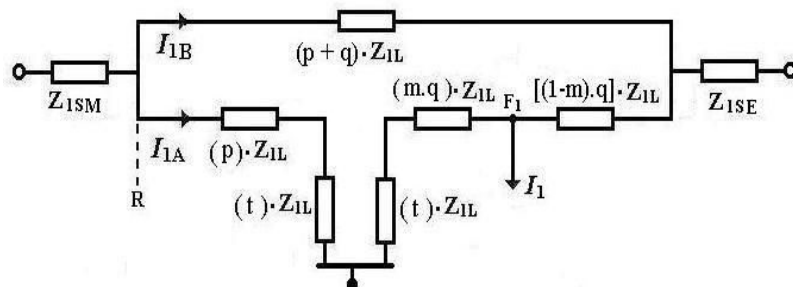
وكذلك الحال بالنسبة لفولتية المرحلة ( $V_{2A}$ ) نظام التتابع السالب للمرحلة وكالآتي [6]:

$$V_{2A} = (p + 2t + m.q) \cdot Z_{2L} \cdot I_{2A} + V_{2F} \quad \dots(5)$$



الشكل (3) : خط نقل مزدوج الدائرة مع حالة عطل طور مع الأرض للدائرة  
(A) بعد قضبان العمومي المحولة مؤرضة

حيث أن تيار التتابع الموجب للمرحلة يكون مساوياً لنبار التتابع السالب ( $I_{1A}=I_{2A}$ ) وكذلك الحال مع ممانع التتابع الموجب والسلب ( $Z_{2L}=Z_{1L}$ ) لخط النقل وفولتية العطل لشبكة التتابع الموجبة والسلبية ( $V_{1F}=V_{2F}$ ، ولذلك يكون تمثيل شبكة التتابع الموجب في حالة حدوث قصر مع الأرض في مسار الدائرة الأولى (A) لخط النقل المزدوج بوجود خط تفرع كما في موضح في الشكل (4) [6],[5].



الشكل (4): شبكة التعاقب الموجب في حالة حدوث قصر مع الأرض في

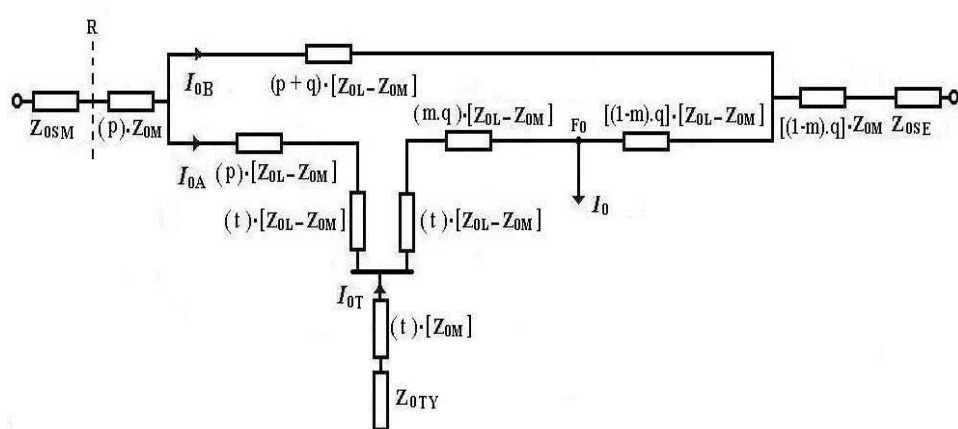
مسار الدائرة (A) لخط النقل المزدوج بوجود خط تفرع

إذ أن

للتيار ناتجة عن بعضه البعض المحوري، حيث أن السير الارضي للمحول سوف يولد هبوط إصبعي في فولتية التتابع الصفرى مما يؤدي إلى زيادة ممانعة العطل المقاسة وبالتالي يؤثر على دقة قياس مرحلة حماية المسافة، أن مقدار هذه الزيادة في الممانعة المقاسة يزداد بزيادة مقدرات المحولة، أو من خلال ربط أكثر من محولة مؤرضة على خط النقل، وبما أن تأثير الحث التبادلى للمانعة الاقتران بين تيار التتابع الصفرى ( $I_{0A}$ ) للدائرة الأولى (A) وتيار التتابع الصفرى ( $I_{0B}$ ) للدائرة الثانية (B) في شبكة نفسها سوف يؤثر على قياس المرحلة، فإن تيار التتابع الصفرى للمحولة ( $I_{0T}$ ) بدوره، والذي يكون عبارة عن مصدر تغذية وسطى إضافي لتيار التتابع الصفرى، سوف يسبب حثاً تبادلياً بين الخطوط المجاورة أيضاً، لذلك فإن فولتية المرحلة لخط الأول ( $V_{0A}$ ) لنظام التتابع الصفرى تكون وفق العلاقة الآتية [6]:

$$V_{0A} = [(p + 2t + m.q) \cdot Z_{0L} - (2.t) \cdot Z_{0M}] \cdot I_{0A} + [(p + m.q) \cdot Z_{0M}] \cdot I_{0B} \dots \\ [(t + m.q) \cdot Z_{0L} - (t) \cdot Z_{0M}] \cdot I_{0T} + V_{0F} \quad \dots(6)$$

لذلك يمكن تمثيل شبكة التتابع الصفرى مع تأثير الحث التبادلى لتيار التتابع الصفرية بالمانعة ( $Z_{0M}$ ) ، فضلاً عن خط التغذية الوسطى لتيار التتابع الصفرى للمحولة، وكما يمثل ( $Z_{0L}$ ) ممانعة التتابع الصفرى لخط النقل وتمثل ( $V_{0F}$ ) فولتية العطل لشبكة التتابع الصفرى، ولذلك يكون تمثيل شبكة التتابع الصفرى في حالة حدوث قصر مع الأرض في مسار الدائرة الأولى (A) لخط النقل المزدوج بوجود خط تفرع كما في موضح في الشكل (5).



الشكل (5): شبكة التعاقب الصفرى في حالة حدوث قصر طور مع الأرض

في مسار الدائرة (A) لخط النقل المزدوج بوجود خط تفرع

وعليه فإن الفولتية التي تظهر عبر مرحلة قياس المسافة ( $V_R$ ) والتي تشمل هبوط الجهد لمركبات التتابع الثلاثة بما فيها مركبات الفولتية لمقاومة العطل تكون وفق العلاقة الآتية [6]:

$$V_R = V_{100A} + V_{2A} + V_{0A} + 3 \cdot I_F \cdot R_F \quad \dots (7)$$

وحيث يمثل ( $I_F$ ) تيار العطل بينما تمثل ( $R_F$ ) مقاومة العطل (Fault Resistance) والتي تشمل كل من مقاومة القوس الكهربائي (Arc Resistance) ومقاومة التأريض للبرج (Tower Footing Resistance). أما التيار الذي المار بمرحلة قياس المسافة ( $I_R$ ) مبين في المعادلة التالية [6]:

$$I_R = (I_{1A} + I_{2A} + I_{0A}) + \left( \frac{Z_{0L} - Z_{1L}}{Z_{1L}} \right) \cdot I_{0A} \quad \dots (8)$$

و عليه يكمن حساب الممانعة الظاهرية ( $Z_R$ ) التي، تقيسها مرحلة المسافة من خلال المعدلات السابقة وكالآتي [5]:

$$Z_R = \frac{V_R}{I_{EA} + K_E \cdot I_{EA}} \quad \dots (9)$$

حيث يمثل ( $I_{aA}$ ) تيار الطور (a) العاطل وهو حاصل جمع تيارات التتابع الموجبة والسلبية والصفيرية + ( $I_{1A}$  +  $I_{2A}$ ) أو ( $I_{EA}$ ) تيار العطل الأرضي للدائرة الأولى (A) و( $K_E$ ) يمثل عامل التعويض المتبقى (Residual Compensation Factor) [5],[6] وكما في المعادلة الآتية:

$$K_E = \frac{Z_{0L} - Z_{1L}}{3 Z_{1L}} \quad \dots (10)$$

وقد تم استخدام برنامج (Matlab\Simulink + M-File) لتمثيل ونمذجة مرحلة قياس المسافة العاملة في خطوط النقل الهوائية المزدوجة (132kV) لشبكة كهرباء العراق للمنطقة الشمالية من خلال تحليل حالة عطل أرضي لإحدى خطوط النقل المزدوجة واستخدام تقنية سلسة فوريير (Fourier Series) لإيجاد قيم تيارات وفولتیات التتابع والمنظومة فضلاً عن الممانعة الظاهرية المقاسة.

## النتائج والمناقشة:

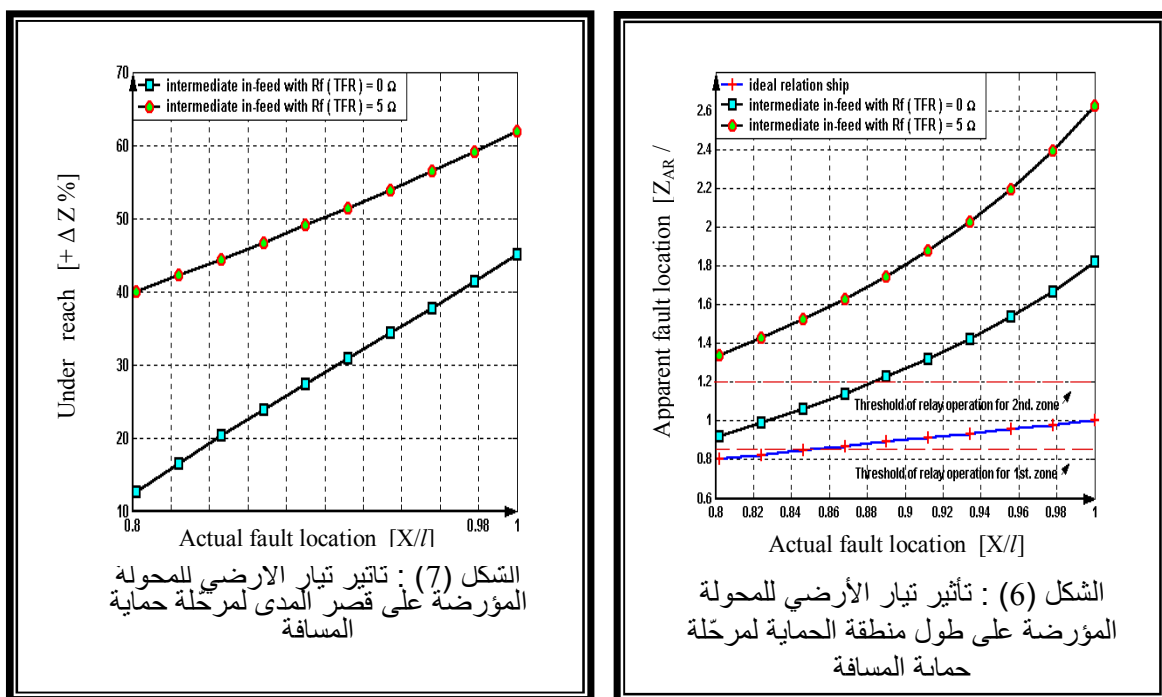
تم في هذه الدراسة بيان تأثير تيار التتابع الصفرى للمحولة المؤرضة والواقعة بين موقع مرحلة حماية المسافة وموقع العطل على قيمة الممانعة الظاهرية المقاسة من قبل تلك المرحلة وكذلك تأثير كل من الحث التبادلى بين المسارين المتوازيين لتيارات مركبة التتابع الصفرية لخطوط النقل ذات الدائرة المزدوجة وتأثير مقاومة العطل.

### تأثير المحولة المؤرضة في خط التفرع على مرحلة حماية المسافة:

ينشأ خطأ القياس في مرحلة حماية المسافة لهذه الحالة بسبب التيار الأرضي للمحولة المؤرضة المرتبطة في خط التفرع والذي يعمل كمصدر تغذية وسطي إضافي لتيار التتابع الصفرى في المسار العاطل وكما مبين سلفاً في الشكل (5)، فضلاً عن تأثير الحث التبادلى لنظام التتابع الصفرى في خطوط النقل المزدوجة الدائرة ، وسيتم بيان هذا التأثير في حالة وجود عدم وجود مقاومة العطل.

### 1. حالة عدم وجود مقاومة العطل:

في هذه الحالة وعلى اعتبار أن مقاومة العطل ( $R_F = 0 \Omega$  )، فإن الجدول (2) يبين قيمة وزاوية الممانعة الظاهرية التي تقيسها المرحلة ( $Z_R$ )، والممانعة الفعلية ( $Z_F$ ) وممانعة الخطأ ( $Z_E$ ) الناتجة مع تأثير مصدري القردة للعمومي القريب والبعيد عن المرحلة ولمواقع عطل مختلفة. نلاحظ من خلال الجدول (2) أن مرحلة قياس حماية المسافة سوف تقيس ممانعة عطل أكبر من الممانعة الفعلية للعطل لأن مقدار ممانعة الخطأ يكون موجباً، حيث أن قيمة وزاوية ممانعة الخطأ في هذه الحالة تنتج عن عدة تأثيرات وكما مبين في الجدول (3) إذ نلاحظ أن تأثير تيار التتابع الصفرى للمحولة المؤرضة ( $I_{0T}$ ) مع تيار التتابع الصفرى ( $I_{0B}$ ) بسبب الاقتران التبادلى الأثر الأكبر على قيمة ممانعة الخطأ وبالتالي على قيمة الممانعة الظاهرية المقاسة مقارنة بتأثير تيار التتابع الصفرى ( $I_{0A}$ ) بسبب الحث التبادلى في خط التفرع. إن هذه التأثيرات سوف تقلل من طول منطقة الحماية بشكل كبير وعليه فإن مرحلة المسافة سوف تتعانى من قصر في المدى والذي يصل إلى (45 %) وكما يتضح في الشكل (6) (والشكل 7)، وهذا يعني أن مرحلة حماية المسافة سوف تحتاج إلى ضبط مقداره بمقدار (181.5 %) من طول مساره لكي يغطي (100 %) من الطول الفعلى لخط النقل.



الشكل (7) : تأثير تيار الأرضي للمحولة المؤرضة على قصر المدى لمرحلة حماية المسافة

الجدول (2) : تأثير تيار الأرضي للمحولة المؤرضة والثت التبادلي على الممانعة الظاهرية لمرحلة حماية المسافة في حالة كون مقاومة العطل ( $R_F = 0 \Omega$ )

الممانعة الخطأ للعطل [ $\Omega$ ]	الممانعة الفعلية للعطل [ $\Omega$ ]	الممانعة الظاهرية لمرحلة [ $\Omega$ ]	النسبة المئوية لموقع العطل
$73.7 \angle 02.845$	$69.8 \angle 14.404$	$70.4 \angle 17.244$	$m = 20\%$
$73.8 \angle 04.740$	$69.8 \angle 15.171$	$70.7 \angle 19.902$	$m = 40\%$
$74.1 \angle 07.092$	$69.8 \angle 15.938$	$71.1 \angle 23.017$	$m = 60\%$
$74.2 \angle 10.134$	$69.8 \angle 16.705$	$71.4 \angle 26.902$	$m = 80\%$
$74.4 \angle 10.304$	$69.8 \angle 17.472$	$71.9 \angle 31.751$	$m = 100\%$

الجدول (3) : قيم وزوايا ممانعات الخطأ بسبب التيار الأرضي للمحولة المؤرضة وممانعة الاقتران التبادلي بسبب تيارات التعقب الصفرية في حالة مقاومة عطل ( $R_F = 0 \Omega$ )

الممانعة الناتجة عن ( $R_F$ ) [ $\Omega$ ]	الممانعة الناتجة عن ( $I_{0A}$ ) [ $\Omega$ ]	الممانعة الناتجة عن ( $I_{0T}$ ) [ $\Omega$ ]	الممانعة الناتجة عن ( $I_{0B}$ ) [ $\Omega$ ]	النسبة المئوية لموقع العطل
0.00	$-101.8 \angle 0.420$	$68.3 \angle 1.321$	$78.2 \angle 1.954$	$m = 20\%$
0.00	$-101.9 \angle 0.401$	$69.6 \angle 2.379$	$77.1 \angle 2.775$	$m = 40\%$
0.00	$-102.1 \angle 0.376$	$70.3 \angle 3.602$	$77.8 \angle 3.882$	$m = 60\%$
0.00	$-102.2 \angle 0.342$	$70.8 \angle 5.067$	$77.7 \angle 5.427$	$m = 80\%$
0.00	$-1027 \angle 0.291$	$71.1 \angle 6.916$	$77.5 \angle 7.701$	$m = 100\%$

في هذه الحالة تم اخذ مقاومة عطل بقيمة ( $R_F = 5 \Omega$  )، وعليه فإن الجدول (4) سوف يبين قيمة زاوية الممانعة الظاهرية التي تقيسها المرحلّة ( $Z_R$ )، مع الممانعة الفعلية ( $Z_F$ ) وممانعة الخطأ ( $Z_E$ ) الناتجة ولموقع عطل مختلف. إذ نلاحظ من الجدول (4) أن قيمة ممانعة الخطأ في هذه الحالة سوف تزداد مقارنة بالحالة السابقة أما زاويتها فإنها سوف تقل بسبب تأثير مقاومة العطل، وهذا التأثير وبالتالي سوف ينعكس على قيمة زاوية الممانعة الظاهرية للمرحلّة، إن ممانعات الخطأ الناتجة بسبب تأثير تيارات التتابع الصفرية ( $I_{0T}$ ) و( $I_{0A}$ ) و( $I_{0B}$ ) سوف لا تتأثر بوجود مقاومة العطل لأن النسبة بين هذه التيارات و التيار المجهز للمرحلة ثابتة وكما مبين في الجدولين (4) و(5).

إن طول منطقة الحماية بوجود مقاومة العطل سوف يقل بشكل كبير مقارنة بالحالة السابقة وبالتالي فإن قصر المدى لمرحلة المسافة سوف يصل إلى (62 %) وكما يتضح في الشكل (6)، لذلك فإن مرحلة قياس المسافة سوف تحتاج إلى ضبط مقداره بمقدار (262.5 %) من طول مسار لكي يغطي (100 %) من الطول الفعلي لخط النقل.

الجدول (4) : تأثير تيار الأرضي للمحولة المؤرضة والث التبادلي على الممانعة الظاهرية

لمرحلة حماية المسافة في حالة كون مقاومة العطل ( $R_F = 5 \Omega$  )

الممانعة الخطأ للعطل [ $\Omega$ ]	الممانعة الفعلية للعطل [ $\Omega$ ]	الممانعة الظاهرية للمرحلة [ $\Omega$ ]	النسبة المئوية لموقع العطل
$8.80 \angle 14.471$	$69.8 \angle 14.404$	$39.2 \angle 24.882$	$m = 20\%$
$13.4 \angle 17.069$	$69.8 \angle 15.171$	$39.8 \angle 28.433$	$m = 40\%$
$17.4 \angle 20.519$	$69.8 \angle 15.938$	$40.1 \angle 32.755$	$m = 60\%$
$20.0 \angle 25.239$	$69.8 \angle 16.705$	$39.9 \angle 38.321$	$m = 80\%$
$24.4 \angle 32.049$	$69.8 \angle 17.472$	$39.4 \angle 45.879$	$m = 100\%$

الجدول (5) : قيم ممانعات الخطأ بسبب تيار الأرضي للمحولة المؤرضة مع تيار التعاقب الصفرى بسبب

الممانعة الناتجة عن ( $R_F$ ) [ $\Omega$ ]	الممانعة الناتجة عن ( $I_{0A}$ ) [ $\Omega$ ]	الممانعة الناتجة عن ( $I_{0T}$ ) [ $\Omega$ ]	الممانعة الناتجة عن ( $I_{0B}$ ) [ $\Omega$ ]	النسبة المئوية لموقع العطل
$-2.1 \angle 13.508$	$-101.8 \angle 0.420$	$68.3 \angle 1.321$	$78.2 \angle 1.954$	$m = 20\%$
$-2.1 \angle 15.291$	$-101.9 \angle 0.401$	$69.6 \angle 2.379$	$77.1 \angle 2.775$	$m = 40\%$
$-2.1 \angle 17.642$	$-102.1 \angle 0.376$	$70.3 \angle 3.602$	$77.8 \angle 3.882$	$m = 60\%$
$-2.2 \angle 20.868$	$-102.2 \angle 0.342$	$70.8 \angle 5.067$	$77.7 \angle 5.427$	$m = 80\%$
$-2.3 \angle 25.588$	$-1027 \angle 0.291$	$71.1 \angle 6.916$	$77.5 \angle 7.701$	$m = 100\%$

#### الاستنتاجات:

إن نتائج هذا البحث مشتقة من تحليل حالة عطل طور مع الأرض لخط نقل مزدوج الدائرة مزود بالقدرة من جهتين وبوجود محولة مؤرضة في وسط أحد الخطوط والعاملة بجهد خط مقداره (132 kV) وتردد (50 Hz).

إن هذا البحث يتضمن دراسة تأثير وجود محولة المؤرضة في خط التفريع الوسطي مع بيان تأثير الث التبادلي لنظام التتابع الصفرى على أداء ودقة قياس مرحلة حماية المسافة التقليدية والعاملة لحماية خطوط النقل المزدوجة مع

وبدون تأثير مقاومة العطل وتحت ظروف تشغيلية وموقع عطل مختلفة. وقد أظهرت النتائج التي تم الحصول عليها من تحليل دائرة العطل ما يأتي:

1. تأثير تيار التتابع الصفرى (التيار الأرضي) للمحولة المؤرضة في حالة وجودها في خط التفريع الوسطى بين موقع العطل ومرحلة حماية المسافة وهذا التأثير يؤدي إلى تغير قيمة الممانعة الظاهرية المقاسة فضلاً عن تأثير الممانعة الناتجة عن الحث التبادلى لنظام التتابع الصفرى فعندما يكون موقع العطل على بعد (80 %) من طول الخط فإن ممانعة العطل الفعلية تكون بحدود ( $\Omega \angle 16.705$ ) (69.8) أمّا ممانعة الظاهرية لمراحل المسافة تكون بحدود ( $\Omega \angle 26.902$ ) (71.4) في حالة عدم وجود مقاومة عطل وبقصر مدى مقداره (37.7%) وتكون بحدود ( $\Omega \angle 38.321$ ) (39.9) في حالة وجود مقاومة عطل ( $\Omega \angle 5$ ) بقصر مدى يصل إلى (56.4 %) وهذا يؤدي وبالتالي إلى تغيير طول منطقة الحماية في كلا الحالتين.

2. في حالة كون خط النقل مزوداً بالقدرة من جهتين فإنه يجب الأخذ بنظر الاعتبار قيمة مقاومة العطل الظاهرية، إذ أن مرور تياراً قصر من نهايتي خط لتغذية نقطه القصر يؤدي إلى زيادة قيمة مقاومة العطل الفعلية فعند موقع العطل المذكور سابقاً كانت مقاومة العطل الظاهرية والتي تكون عبارة عن قيمة مركبة بحدود ( $\Omega \angle -2.2$ ) (20.868) أمّا مقاومة العطل الفعلية فهي بحدود ( $\Omega \angle 5$ ).

3. إن للاقتران التبادلى لنظام التتابع الصفرى لخطوط النقل المزدوجة تأثير كبير على المسافة المحمية إذ يسبب قصراً أو بعضاً في المدى لمراحل قياس المسافة وهذا يعتمد على تغيير مستوى القصر وسريان القدرة لمصدري التغذية عند نهايتي خط النقل فضلاً عن موقع العطل.

#### المراجع:

- [1] Q. Gong, Y. Chen, C. Zhang and Z. Wang, “ A Study of the Accurate Fault Location System for Transmission Line Using Multi-Terminal Signals ”, Proceeding Paper, IEEE PES Winter Meeting, Vol. 4, pp.2533-2538, 2000.
  - [2] T. Nagasawa, M. Abe, N. Otsuzuki, T. Emura, Y. Jikihara, M. Takeuchi, “ Development of a New Fault Location Algorithm For Multi-Terminal Two Parallel Transmission Lines ”, IEEE Transactions on Power Delivery, Vol. 7, No. 3, pp. 1516-1532, July 1992.
  - [3] D.A. Tziouvaras, J.B. Roberts and G. Benmouyal, “ New Multi-Ended Fault Location Design For Two or Three Terminal Lines ”, IEEE Developments in Power System Protection, Conference Publication No.479, pp. 395-398, 2001.
  - [4] Y.Q. Xia, A.K. David and K.K. Li, “ High-Resistance Faults on a Multi- Terminal Line: Analysis, Simulated Studies and an Adaptive Distance Relaying Scheme ”, IEEE Transactions on Power Delivery, Vol.9, no 1, pp. 492- 500, January 1994.
  - [5] ALSTOM, “ Protection and Automation Net Work ”, Guide, Alstom T&D Energy Automation and Information, Peter Rush, Levauios – Perret France, 2002.
  - [6] Gerhard Ziegler, “ Numerical Distance Protection, Principles and Application ” , Siemens, Erlangen, Publics -MCD-Verl. 2008.
  - [7] G. E. Alexander and J. G. Andrichak, “ Application of Phase and Ground Distance Relay to Three terminal Lines ”, GE protection &control, Malvern, PA, 1994.
  - [8] M. F. AL-Kababjie, D. A. AL-Na'ma, H. I. Zynal, and N. Sheet, “Evaluation of Distance protection Devices High Voltage North Net Work”, The University of Mosul, Presented to I.N.R.G., August 2001.
- د. عبد الغني عبد الرزاق و السيد حسن حجي خديدة، دراسة تأثير نقاط التأمين على مستويات تيار [9] القصر لشبكة المنطقة الشمالية 132 kV ، جامعة الموصل، الشركة العامة لإنتاج الطاقة الكهربائية للمنطقة الشمالية، أيلول، 2001.

تم اجراء البحث في كلية الهندسة = جامعة الموصل